

Распад $\tau \rightarrow K^- \pi^0 \nu_\tau$ в модели Намбу–Иона-Лазинио с учетом взаимодействия мезонов в конечном состоянии

М. К. Волков¹⁾, А. А. Пивоваров¹⁾

Лаборатория теоретической физики им. Н. Н. Боголюбова, Объединенный институт ядерных исследований,
141980 Дубна, Россия

Поступила в редакцию 10 апреля 2021 г.

После переработки 30 апреля 2021 г.

Принята к публикации 9 мая 2021 г.

Распад $\tau \rightarrow K^- \pi^0 \nu_\tau$ описан в модели Намбу–Иона-Лазинио с учетом контактного вклада, а также вклада от промежуточного векторного мезона. Взаимодействие мезонов в конечном состоянии учтено посредством рассматривания расходящихся мезонных петель. Дополнительный параметр ультрафиолетового обрезания в этих петлях фиксируется по экспериментальной ширине рассматриваемого процесса.

DOI: 10.31857/S1234567821120016

1. Введение. В недавнем эксперименте [1] были сделаны оценки для ширин распадов $\tau \rightarrow K^- n \pi^0 \nu_\tau$ ($n = 0, 1, 2, 3$), причем значение ширины распада $\tau \rightarrow K^- \pi^0 \nu_\tau$ несколько отличается от данных, приведенных в Particle Data Group (PDG) [2], а также от данных экспериментальной работы [3]. Интерес к этому процессу обусловлен тем, что он используется при изучении поляризации вакуума, а также тем, что он содержит одновременно странные и нестранные частицы. Кроме того, вычисление этого процесса в рамках модели Намбу–Иона-Лазинио (НИЛ) [4–11] с учетом $a_1 - \pi$ и $K_1 - K$ переходов приводит к довольно сильному отклонению от экспериментальных данных, в то время как данная модель позволяет описать большое количество процессов распадов τ лептона в удовлетворительном согласии с экспериментом (см., например, [12–15]). Это может свидетельствовать о необходимости учета дополнительных эффектов. В то же время в нашей недавно опубликованной теоретической работе был удовлетворительно описан похожий процесс $\tau \rightarrow \pi^- \pi^0 \nu_\tau$ [16] с использованием модели НИЛ, но с небольшим выходом за ее рамки для учета взаимодействия пионов в конечном состоянии. Подобный же метод можно применить и к описанию распада $\tau \rightarrow K^- \pi^0 \nu_\tau$. Этому и посвящена настоящая работа.

Взаимодействие в конечном состоянии здесь описывается с помощью треугольных мезонных петель, содержащих каон, пион и векторный мезон. Другие диаграммы дают лишь незначительные поправки. Такие петли содержат квадратичную и логариф-

мическую расходимость. При этом величина обрезания будет фиксироваться по значению экспериментальной ширины.

Однако следует отметить, что при описании распада $\tau \rightarrow \pi^- \pi^0 \nu_\tau$ для фиксации возникающего неопределенного параметра ультрафиолетового обрезания расходящейся мезонной петли был использован процесс $e^+ e^- \rightarrow \pi^- \pi^+$. В случае же распада $\tau \rightarrow K^- \pi^0 \nu_\tau$, рассматриваемого в данной работе, не удалось найти такой дополнительный процесс, используя который можно было бы зафиксировать аналогичный параметр. Однако, мы можем претендовать на описание механизма этого распада. Также в данной работе исследуется влияние учета взаимодействия в конечном состоянии на дифференциальное распределение.

2. Лагранжиан взаимодействия модели НИЛ. В стандартной модели НИЛ кварк-мезонный лагранжиан взаимодействия псевдоскалярных и векторных мезонов, содержащий нужные нам вершины, принимает вид [7]:

$$\Delta L_{\text{int}} = \bar{q} \left[i g_\pi \gamma^5 \lambda_0^\pi \pi^0 + i g_K \gamma^5 \lambda_\pm^K K^\pm + \frac{g_\rho}{2} \gamma^\mu \lambda_\pm^\rho \rho_\mu^\pm + \frac{g_{K^*}}{2} \gamma^\mu \lambda_\pm^K K_\mu^{*\pm} + \frac{g_{K^*}}{2} \gamma^\mu \lambda_0^K K_\mu^{*0} + i g_\pi \gamma^5 \lambda_\pm^\pi \pi^\pm \right] q, \quad (1)$$

где q и $\bar{q} = u, d$ и s -кварковые поля с составляющими массами $m_u = m_d = 280$ МэВ, $m_s = 420$ МэВ, $\pi^0, \pi^\pm, K^\pm, \rho^\pm, K^{*0}$ и $K^{*\pm}$ – псевдоскалярные и векторные мезоны, $\lambda_0^\pi, \lambda_\pm^K, \lambda_\pm^\rho, \lambda_\pm^K, \lambda_0^K$ и λ_\pm^π – линейные комбинации матриц Гелл-Манна.

Константы связи:

$$g_\pi = \sqrt{\frac{Z_\pi}{4I_{20}}}, \quad g_\rho = \sqrt{\frac{3}{2I_{20}}},$$

¹⁾e-mail: volkov@theor.jinr.ru; tex_k@mail.ru

$$g_K = \sqrt{\frac{Z_K}{4I_{11}}}, \quad g_{K^*} = \sqrt{\frac{3}{2I_{11}}},$$

где

$$\begin{aligned} Z_\pi &= \left(1 - 6 \frac{m_u^2}{M_{a_1}^2}\right)^{-1}, \\ Z_K &= \left(1 - \frac{3}{2} \frac{(m_u + m_s)^2}{M_{K_{1A}}^2}\right)^{-1}, \\ M_{K_{1A}}^2 &= \left(\frac{\sin^2 \alpha}{M_{K_1(1270)}^2} + \frac{\cos^2 \alpha}{M_{K_1(1400)}^2}\right)^{-1}, \end{aligned} \quad (2)$$

Z_π – множитель, соответствующий $\pi - a_1$ переходам, Z_K – множитель, соответствующий $K - K_1$ переходам, $M_{a_1} = 1230$ МэВ, $M_{K_1(1270)} = 1272$ МэВ, $M_{K_1(1400)} = 1403$ МэВ [2] – массы аксиально векторных a_1 и K_1 мезонов. Интегралы, входящие в определения констант связи, принимают следующий вид:

$$I_{nm} = -i \frac{N_c}{(2\pi)^4} \int \frac{\theta(\Lambda^2 + k^2)}{(m_u^2 - k^2)^n (m_s^2 - k^2)^m} d^4k, \quad (3)$$

$\Lambda = 1250$ МэВ – параметр обрезания [7]. Этот параметр, применяемый в данной версии модели НИЛ, больше значений, используемых в некоторых других версиях этой модели. Версия Намбу–Иона–Лазинио с таким обрезанием, применяемая в данной работе, позволила описать большое количество прецессов в удовлетворительном согласии с экспериментом.

3. Процесс $\tau \rightarrow K^- \pi^0 \nu_\tau$. Диаграммы процесса $\tau \rightarrow K^- \pi^0 \nu_\tau$ в лидирующем по $1/N_c$ приближении изображены на рис. 1, 2.

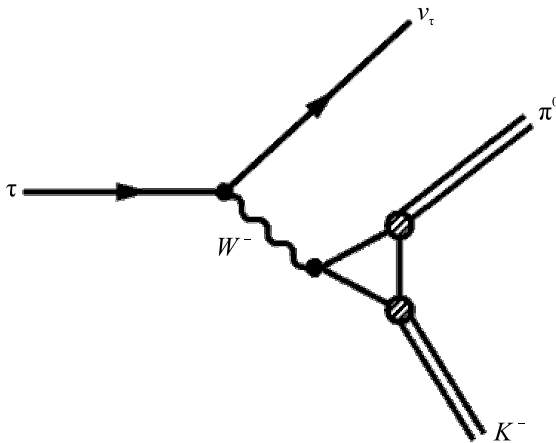


Рис. 1. Контактная диаграмма процесса $\tau \rightarrow K^- \pi^0 \nu_\tau$

Амплитуда этого процесса в данном приближении в модели НИЛ принимает вид:

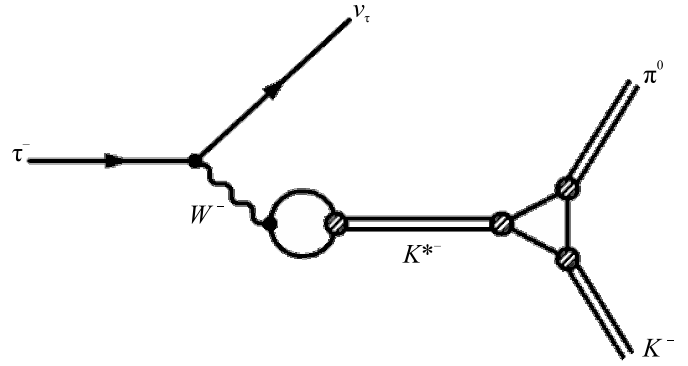


Рис. 2. Диаграмма процесса $\tau \rightarrow K^- \pi^0 \nu_\tau$ с промежуточным мезоном

$$\begin{aligned} M(\tau \rightarrow K^- \pi^0 \nu_\tau)_{\text{tree}} &= -3G_f V_{us} \frac{g_K g_\pi}{g_{K^*}^2} L_\mu \times \\ &\times \left[g^{\mu\nu} + \frac{g^{\mu\nu} q^2 f(q^2) - q^\mu q^\nu f(M_{K^*}^2)}{M_{K^*}^2 - q^2 - i\sqrt{q^2} \Gamma_{K^*}} \right] \times \\ &\times (A_K p_{K\nu} - A_\pi p_{\pi\nu}), \end{aligned} \quad (4)$$

где G_f – константа Ферми, V_{us} – элемент матрицы Кабиббо–Кобаяши–Маскава, L_μ – лептонный ток, A_K и A_π – константы, возникающие в результате учета $\pi - a_1$ и $K - K_1$ переходов:

$$\begin{aligned} A_\pi &= 1 - 3 \frac{m_u (3m_u - m_s)}{M_{a_1}^2}, \\ A_K &= 1 - 3 \frac{m_s (m_u + m_s)}{M_{K_{1A}}^2}. \end{aligned} \quad (5)$$

Функция

$$f(q^2) = 1 - \frac{3}{2} \frac{(m_s - m_u)^2}{q^2} \quad (6)$$

введена для удобства записи.

С помощью этой амплитуды можно получить следующее значение парциальной ширины данного распада:

$$\text{Br}(\tau \rightarrow K^- \pi^0 \nu_\tau)_{\text{tree}} = 2.92 \times 10^{-3}. \quad (7)$$

Экспериментальные значения:

$$\begin{aligned} \text{Br}(\tau \rightarrow K^- \pi^0 \nu_\tau)_{\text{exp}} &= (5.05 \pm 0.17) \times 10^{-3} [1], \\ \text{Br}(\tau \rightarrow K^- \pi^0 \nu_\tau)_{\text{exp}} &= (4.33 \pm 0.15) \times 10^{-3} [2], \\ \text{Br}(\tau \rightarrow K^- \pi^0 \nu_\tau)_{\text{exp}} &= (4.16 \pm 0.21) \times 10^{-3} [3]. \end{aligned} \quad (8)$$

Как видно, вычисленное в рамках модели НИЛ значение парциальной ширины для рассматриваемого процесса значительно отличается от экспериментальных данных. Это может говорить о необходимости учета взаимодействия в конечном состоянии.

Для этих целей требуется выход за пределы лидирующего по $1/N_c$ приближения, в котором сформулирована модель НИЛ.

4. Учет взаимодействия в конечном состоянии. Взаимодействие в конечном состоянии можно учесть с помощью диаграмм, изображенных на рис. 3. В отличие от процесса $\tau \rightarrow \pi \pi \nu_\tau$, здесь необходимо учесть уже три возможных варианта.

Амплитуда процесса $K^{*-} \rightarrow K^- \pi^0$ в лидирующем по $1/N_c$ приближении может быть описана полностью в рамках стандартной модели НИЛ. Она принимает вид:

$$M(K^{*-} \rightarrow K^- \pi^0)_{\text{tree}} = 3 \frac{g_K g_\pi}{g_{K^*}} e_\mu(p) (A_K p_K^\mu - A_\pi p_\pi^\mu), \quad (9)$$

где $e_\mu(p)$ – поляризационный вектор распадающегося мезона, p_K и p_π – импульсы конечных мезонов.

На основе данной амплитуды можно записать соответствующую вершину мезонного лагранжиана:

$$-i3 \frac{g_K g_\pi}{g_{K^*}} K_\mu^{*-} (A_K \pi^0 \partial^\mu K^+ - A_\pi K^+ \partial^\mu \pi^0). \quad (10)$$

Аналогично можно получить остальные вершины [7, 17]:

$$\begin{aligned} & -i3\sqrt{2} \frac{g_K g_\pi}{g_{K^*}} K_\mu^{*-} (A_K \pi^+ \partial^\mu K^0 - A_\pi K^0 \partial^\mu \pi^+), \\ & -i3\sqrt{2} \frac{g_K g_\pi}{g_{K^*}} \bar{K}_\mu^{*0} (A_K \pi^- \partial^\mu K^+ - A_\pi K^+ \partial^\mu \pi^-), \\ & -i3 \frac{g_K g_\pi}{g_{K^*}} K_\mu^{*0} (A_K \pi^0 \partial^\mu \bar{K}^0 - A_\pi \bar{K}^0 \partial^\mu \pi^0), \\ & -i \frac{\sqrt{2}}{2} g_\rho \rho_\mu^- (K^+ \partial^\mu \bar{K}^0 - \bar{K}^0 \partial^\mu K^+), \\ & -i g_\rho \rho_\mu^+ (\pi^- \partial^\mu \bar{\pi}^0 - \bar{\pi}^0 \partial^\mu \pi^-). \end{aligned} \quad (11)$$

Эти мезонные петли приводят к следующим интегралам:

$$\begin{aligned} F_\mu^{K^{*\pm}} &= \int \frac{(A_K k - (A_K + A_\pi) p_\pi)_\lambda (A_\pi k + (A_K + A_\pi) p_K)_\nu ((A_K + A_\pi) k + A_\pi p_K - A_K p_\pi)_\mu \left(g^{\nu\lambda} - \frac{k^\nu k^\lambda}{M_{K^*}^2} \right) d^4 k}{[k^2 - M_{K^*}^2] [(k + p_K)^2 - M_\pi^2] [(k - p_\pi)^2 - M_K^2]} \frac{d^4 k}{(2\pi)^4}, \\ F_\mu^\rho &= \int \frac{(k - 2p_\pi)_\lambda (k + 2p_K)_\nu ((A_K + A_\pi) k + A_K p_K - A_\pi p_\pi)_\mu \left(g^{\nu\lambda} - \frac{k^\nu k^\lambda}{M_\rho^2} \right) d^4 k}{[k^2 - M_\rho^2] [(k + p_K)^2 - M_K^2] [(k - p_\pi)^2 - M_\pi^2]} \frac{d^4 k}{(2\pi)^4}, \\ F_\mu^{K^{*0}} &= F_\mu^{K^{*\pm}}. \end{aligned} \quad (12)$$

Данные интегралы расходятся и могут быть регуляризованы обрезанием с помощью параметра Λ_M .

Интегралы (12) можно вычислить по аналогии с тем, как вычислялись интегралы по кварковым петлям в модели НИЛ, т.е. разложением знаменателя по внешним импульсам и удержанием только расходящихся членов (см. Приложение).

В результате, мы можем записать дополнительные вклады от мезонных петель в процесс $\tau \rightarrow K^- \pi^0 \nu_\tau$:

$$\begin{aligned} M(\tau \rightarrow K^- \pi^0 \nu_\tau)_{\text{loop}} &= -3i G_f V_{us} \frac{g_K g_\pi}{g_{K^*}} L_\mu \times \\ & \times \left[g^{\mu\nu} + \frac{g^{\mu\nu} q^2 f(q^2) - q^\mu q^\nu f(M_{K^*}^2)}{M_{K^*}^2 - q^2 - i\sqrt{q^2} \Gamma_{K^*}} \right] \\ & \left\{ - \left(3 \frac{g_K g_\pi}{g_{K^*}} \right)^2 F_\nu^{K^{*\pm}} + g_\rho^2 F_\nu^\rho + 2 \left(3 \frac{g_K g_\pi}{g_{K^*}} \right)^2 F_\nu^{K^{*0}} \right\}. \end{aligned} \quad (13)$$

Сравнение результата с экспериментальной шириной, взятой из PDG [2], дает значение параметра $\Lambda_M = 950$ МэВ. Если сравнивать с экспериментальным значением, приведенным в работе [1], мы полу-

чаем $\Lambda_M = 1100$ МэВ. Эксперимент [3] приводит к $\Lambda_M = 910$ МэВ.

При учете взаимодействия в конечном состоянии аналогичным способом в процессе $\tau \rightarrow \pi^- \pi^0 \nu_\tau$ был получен параметр обрезания $\Lambda_M = 740$ МэВ [16]. Эти процессы отличаются заменой пиона на более массивный каон. Естественно, что такая замена должна вести к увеличению обрезания. Следовательно, полученный здесь результат не противоречит предыдущему.

График зависимости дифференциальной ширины процесса от инвариантной массы конечных мезонов представлен на рис. 4. Как видно, учет взаимодействия мезонов в конечном состоянии посредством дополнительных мезонных петель не искажает форму данной зависимости.

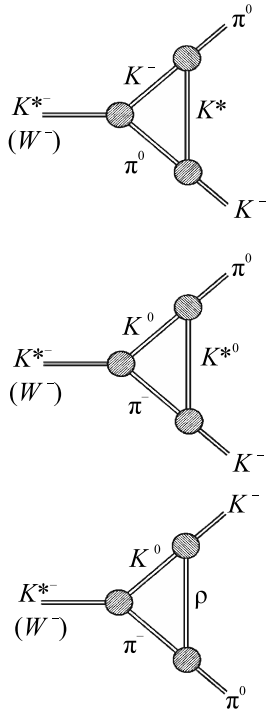


Рис. 3. Дополнительные петлевые вклады вершины $K^{*-}(W^-) \rightarrow K^- \pi^0$

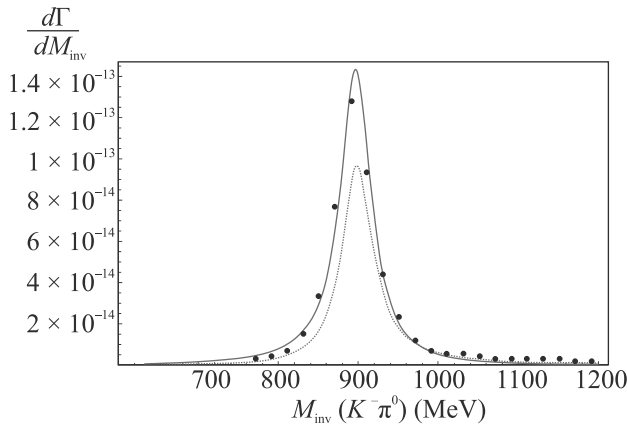


Рис. 4. Зависимости дифференциальной ширины процесса $\tau \rightarrow K^- \pi^0 \nu_\tau$ от инвариантной массы конечных мезонов для случая учета взаимодействия в конечном состоянии при $\Lambda_M = 910$ МэВ (сплошная линия) и для случая древесного приближения по мезонным полям (пунктирная линия). Экспериментальные точки взяты из работы [3]

Вершина лагранжиана взаимодействия скалярного мезона K_0^* с каоном и пионом в минимальном порядке не содержит производных:

$$2m_s \frac{g_K g_\pi}{g_{K_0^*}} K_0^{*-} K^+ \pi^0. \tag{14}$$

Поэтому, взаимодействие в конечном состоянии путем обмена скалярным мезоном, изображенное на рис. 5, в минимальном порядке по внешним импульсам приводит к сходящемуся интегралу, который дает результат на несколько порядков меньше экспериментального.

Четырехмезонная вершина взаимодействия каонов и пионов в минимальном порядке также не содержит производных:

$$-\frac{1}{2} g_\pi^2 K^+ K^- \pi^0 \pi^0. \tag{15}$$

Поэтому, если рассмотреть взаимодействие в конечном состоянии посредством четырехмезонной вершины (рис. 6), то мы получаем расходящийся интеграл, который дает результат на два порядка меньше вкладов с обменом векторным мезоном. По этой причине для учета взаимодействия в конечном состоянии мы ограничились только диаграммами, изображенными на рис. 3.

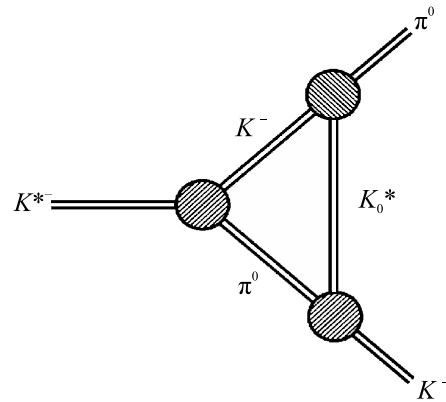


Рис. 5. Взаимодействие в конечном состоянии посредством обмена скалярным мезоном

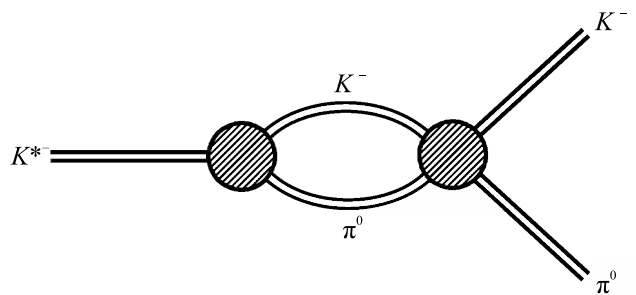


Рис. 6. Взаимодействие в конечном состоянии с четырехмезонной вершиной

5. Заключение. Процесс $\tau \rightarrow K^- \pi^0 \nu_\tau$ вычислен с использованием модели НИЛ. Взаимодействие адронов в конечном состоянии представлено через

обмен векторными мезонами K^* и ρ . Это привело к необходимости выхода за пределы лидирующего по $1/N_c$ приближения, в котором сформулирована стандартная модель НИЛ. Полученные расходящиеся треугольные диаграммы были регуляризованы обрезанием. Так как нет подходящего процесса, по которому можно было бы зафиксировать параметр обрезания в данных трелугольниках, он был определен по экспериментальной ширине рассматриваемого распада. Поэтому полученные результаты не обладают предсказательной силой, но могут претендовать на описание механизма данного процесса. Дополнительные члены составили порядка 30 %, что и позволяет рассматривать их как поправки следующего порядка разложения по $1/N_c$.

Учет треугольных диаграмм с обменом скалярными мезонами, а также диаграмм с четырехмезонной вершиной приводит к незначительным поправкам.

Данный распад также изучался во многих теоретических работах других авторов [18–20]. Как прави-

ло, при этом использовалась киральная теория возмущений, резонансная киральная теория, дисперсионные соотношения и модель векторной доминантности. Возникающие параметры фиксировались по экспериментальным данным.

Приложение. Интегралы $F_\mu^{K^*}$ и F_μ^ρ из (12) вычислялись разложением знаменателей в ряд и удержанием расходящихся членов. Во многих расходящихся слагаемых в числителе возникает квадрат импульса интегрирования. К нему можно прибавить и вычесть квадрат массы мезона $k^2 - M^2 + M^2$. В результате одно слагаемое сокращается с одним из знаменателей пропагатора, и там расходимость остается прежней, а во втором слагаемом расходимость понижается вплоть до появления сходящихся членов. Если отбросить все сходящиеся части, то возникнет неопределенность ответа, зависящая от того, массы каких мезонов мы прибавляли и вычитали. Для избежания этой неопределенности такие сходящиеся слагаемые учитывались при вычислении.

$$\begin{aligned}
 F^{K^* \mu} = & -\frac{i}{24M_{K^*}^2} \left\{ 2 \left\{ 3 \left[A_\pi (5A_K^2 + 2A_K A_\pi + A_\pi^2) p_\pi^\mu - A_K (A_K^2 + 2A_K A_\pi + 5A_\pi^2) p_K^\mu \right] \right. \right. \\
 & \times \left[I_{K^*} - I_{K^* K} (M_K^2 + M_\pi^2) + I_{K^* K \pi} M_\pi^4 \right] - 3M_\pi^2 \left[A_K (A_K^2 + 2A_K A_\pi + 5A_\pi^2) p_K^\mu \right. \\
 & \left. - A_\pi (5A_K^2 + 2A_K A_\pi + A_\pi^2) p_\pi^\mu \right] \left[I_{K^* K} - I_{K^* K \pi} (M_K^2 + M_\pi^2) + I_{K^* 2K \pi} M_K^4 \right] \\
 & + 3M_K^2 \left[I_{K^* K} - 2I_{K^* K \pi} M_\pi^2 + I_{K^* K 2\pi} M_\pi^4 \right] \left[A_\pi (5A_K^2 + 2A_K A_\pi + A_\pi^2) p_\pi^\mu \right. \\
 & \left. - A_K (A_K^2 + 2A_K A_\pi + 5A_\pi^2) p_K^\mu \right] + 2 \left[I_{K^* K} - I_{K^* K \pi} M_\pi^2 + 3I_{K^* K 2\pi} M_\pi^4 - I_{K^* K 3\pi} M_\pi^6 \right] \\
 & \left[p_K^\mu (3A_K^3 M_K^2 + A_K^2 A_\pi (7M_K^2 + M_\pi^2 - q^2) + A_K A_\pi^2 (11M_K^2 + 2(M_\pi^2 - q^2)) \right. \\
 & \left. + A_\pi^3 (M_K^2 + M_\pi^2 - q^2)) - A_\pi^2 M_K^2 (7A_K^2 + 2A_K A_\pi + A_\pi^2) p_\pi^\mu \right] \\
 & - 6A_K A_\pi (A_K + A_\pi) \left[I_{K^*} - I_{K^* K} (2M_K^2 + M_\pi^2) - I_{K^* K \pi} (M_K^4 + M_K^2 M_\pi^2 + M_\pi^4) \right. \\
 & \left. - I_{K^* 2K \pi} M_K^6 \right] p_\pi^\mu + 6A_K A_\pi (A_K + A_\pi) \left[I_{K^*} - I_{K^* K} (M_K^2 + 2M_\pi^2) + 3I_{K^* K \pi} M_\pi^4 - I_{K^* K 2\pi} M_\pi^6 \right] p_K^\mu \\
 & + 4A_K A_\pi (A_K + A_\pi) \left[(M_K^2 + M_\pi^2 - q^2) p_\pi^\mu - M_\pi^2 p_K^\mu \right] \left[I_{K^* K} - 2I_{K^* K \pi} (M_K^2 + M_\pi^2) \right. \\
 & \left. + I_{K^* K 2\pi} (3M_K^4 + 2M_K^2 M_\pi^2 + M_\pi^4) - 4I_{K^* 2K 2\pi} M_K^6 + I_{K^* 3K 2\pi} M_K^8 \right] + 6A_K A_\pi (A_K + A_\pi) \\
 & \times (M_\pi^2 p_K^\mu - M_K^2 p_\pi^\mu) \left[I_{K^* K} - I_{K^* K \pi} (M_K^2 + 2M_\pi^2) + I_{K^* K 2\pi} (M_K^4 + M_K^2 M_\pi^2 + M_\pi^4) \right. \\
 & \left. - 4I_{K^* 2K 2\pi} M_K^6 \right] + 4A_K A_\pi (A_K + A_\pi) \left[M_K^2 p_\pi^\mu - (M_K^2 + M_\pi^2 - q^2) p_K^\mu \right] \left[I_{K^* K} \right. \\
 & \left. - I_{K^* K \pi} (M_K^2 + 3M_\pi^2) + I_{K^* K 2\pi} (M_K^4 + 2M_K^2 M_\pi^2 + 3M_\pi^4) - I_{K^* K 3\pi} (M_K^2 + M_\pi^2) (M_K^4 + M_\pi^4) \right. \\
 & \left. + I_{K^* 2K 3\pi} M_K^8 \right] + 12A_K A_\pi (A_K + A_\pi) \left[-I_{K^* K \pi} M_K^2 + 3I_{K^* 2K \pi} M_K^4 - 3I_{K^* 3K \pi} M_K^6 \right. \\
 & \left. + I_{K^* 4K \pi} M_K^8 \right] M_\pi^2 p_\pi^\mu + 12A_K A_\pi (A_K + A_\pi) \left[I_{K^* K \pi} M_\pi^2 - 3I_{K^* K 2\pi} M_\pi^4 + 3I_{K^* K 3\pi} M_\pi^6 - \right. \\
 & \left. I_{K^* K 4\pi} M_\pi^8 \right] M_K^2 p_K^\mu \left. \right\} - 3 \left[I_{K^* K} - I_{K^* K \pi} M_\pi^2 \right] \left[8A_K A_\pi M_{K^*}^2 (A_\pi p_K^\mu - A_K p_\pi^\mu) \right. \\
 & \left. + 2(A_K + A_\pi)^2 M_{K^*}^2 (A_K p_K^\mu - A_\pi p_\pi^\mu) - (A_K + A_\pi)^2 (M_K^2 + M_\pi^2 - q^2) (A_\pi p_K^\mu - A_K p_\pi^\mu) \right] \\
 & + 2 \left\{ (A_K + A_\pi) \left[I_{K^* K} - I_{K^* K \pi} (M_K^2 + M_\pi^2) + I_{K^* 2K \pi} M_K^4 \right] \left[(4A_K^2 (M_K^2 + M_\pi^2 - q^2) \right. \right. \\
 & \left. \left. + 2A_K A_\pi (M_K^2 + 4M_\pi^2 - 3M_{K^*}^2 - q^2) + A_\pi^2 (M_K^2 + M_\pi^2 - q^2)) p_\pi^\mu \right. \right. \\
 & \left. \left. - (A_K^2 M_\pi^2 + A_K A_\pi (3M_K^2 + 5M_\pi^2 - 3q^2) + 7A_\pi^2 M_\pi^2) p_K^\mu \right] - (A_K + A_\pi) \left[I_{K^* K} \right. \right.
 \end{aligned}$$

$$\begin{aligned}
& -2I_{K^*K\pi}M_\pi^2 + I_{K^*K2\pi}M_\pi^4 \left[(A_K^2(M_K^2 + M_\pi^2 - q^2) + 2A_KA_\pi(4M_K^2 + M_\pi^2 - 3M_{K^*}^2 - q^2) \right. \\
& \quad \left. + 4A_\pi^2(M_K^2 + M_\pi^2 - q^2))p_K^\mu - (7A_K^2M_K^2 + A_KA_\pi(5M_K^2 + 3M_\pi^2 - 3q^2) + A_\pi^2M_K^2)p_\pi^\mu \right] \\
& \quad + 2[I_{K^*K} - I_{K^*K\pi}(M_K^2 + 2M_\pi^2) + I_{K^*K2\pi}(M_K^4 + M_K^2M_\pi^2 + M_\pi^4) - I_{K^*2K2\pi}M_K^6] \\
& \quad \left[(A_K^3(M_K^2 + M_\pi^2 - q^2) + A_KA_\pi(A_K + 2A_\pi)(2M_K^2 + 3M_\pi^2 - 2q^2) + A_\pi^3M_\pi^2)p_K^\mu \right. \\
& \quad \left. - (A_\pi^3(M_K^2 + M_\pi^2 - q^2) + A_KA_\pi(2A_K + A_\pi)(3M_K^2 + 2M_\pi^2 - 2q^2) + A_K^3M_K^2)p_\pi^\mu \right] \\
& - 2[I_{K^*K} - I_{K^*K\pi}(2M_K^2 + M_\pi^2) + 3I_{K^*2K\pi}M_K^4 - I_{K^*3K\pi}M_K^6] \left[(A_K^3(M_K^2 + M_\pi^2 - q^2) \right. \\
& \quad \left. + A_K^2A_\pi(2M_K^2 + 11M_\pi^2 - 2q^2) + A_KA_\pi^2(M_K^2 + 7M_\pi^2 - q^2) + 3A_\pi^3M_\pi^2)p_\pi^\mu \right. \\
& \quad \left. - A_K(A_K^2 + 2A_KA_\pi + 7A_\pi^2)M_\pi^2p_K^\mu \right] \}, \tag{16}
\end{aligned}$$

$$\begin{aligned}
F^{\rho\mu} = & \frac{i}{6M_\rho^2} \left\{ 6(A_K + A_\pi) [I_{\rho K\pi}M_K^2 - 3I_{\rho 2K\pi}M_K^4 + 3I_{\rho 3K\pi}M_K^6 - I_{\rho 4K\pi}M_K^8] M_K^2p_K^\mu \right. \\
& \quad \left. + 6(A_K + A_\pi) [-I_{\rho K\pi}M_\pi^2 + 3I_{\rho K2\pi}M_\pi^4 - 3I_{\rho K3\pi}M_\pi^6 + I_{\rho K4\pi}M_\pi^8] M_\pi^2p_\pi^\mu \right. \\
& - 3[I_\rho - I_{\rho K\pi}(M_K^4 + M_K^2M_\pi^2 + M_\pi^4) + I_{\rho 2K\pi}(M_K^6 + M_\pi^6)] [(3A_K + A_\pi)p_K^\mu - (A_K + 3A_\pi)p_\pi^\mu] \\
& \quad + 3(A_K + A_\pi) [I_\rho - I_{\rho K}(2M_K^2 + M_\pi^2) + I_{\rho K\pi}(M_K^4 + M_K^2M_\pi^2 + M_\pi^4) - I_{\rho 2K\pi}M_K^6] p_K^\mu \\
& \quad - 3(A_K + A_\pi) [I_\rho - I_{\rho K}(M_K^2 + 2M_\pi^2) + 3I_{\rho K\pi}M_\pi^4 - I_{\rho K2\pi}M_\pi^6] p_\pi^\mu \\
& - 3(A_K + A_\pi) [I_{\rho K} - I_{\rho K\pi}(M_K^2 + 2M_\pi^2) + I_{\rho K2\pi}(M_K^4 + M_K^2M_\pi^2 + M_\pi^4) - I_{\rho 2K2\pi}M_K^6] \\
& \times [M_K^2p_\pi^\mu - M_\pi^2p_K^\mu] + 2(A_K + A_\pi) [I_{\rho K} - 2I_{\rho K\pi}(M_K^2 + M_\pi^2) + I_{\rho K2\pi}(3M_K^4 + 2M_K^2M_\pi^2 + M_\pi^4) \\
& \quad - 4I_{\rho 2K2\pi}M_K^6 + I_{\rho 3K2\pi}M_K^8] [M_K^2p_\pi^\mu - (M_K^2 + M_\pi^2 - q^2)p_K^\mu] - 2(A_K + A_\pi) [I_{\rho K} \\
& - I_{\rho K\pi}(M_K^2 + 3M_\pi^2) + I_{\rho K2\pi}(M_K^4 + 2M_K^2M_\pi^2 + 3M_\pi^4) - 4I_{\rho K3\pi}(M_K^2 + M_\pi^2)(M_K^4 + M_\pi^4) \\
& + I_{\rho 2K3\pi}M_K^8] [M_\pi^2p_K^\mu - (M_K^2 + M_\pi^2 - q^2)p_\pi^\mu] + 2[I_{\rho K} - I_{\rho K\pi}(2M_K^2 + M_\pi^2) + 3I_{\rho 2K\pi}M_K^4 \\
& - I_{\rho 3K\pi}M_K^6] [((7A_K + 4A_\pi)M_K^2 + (A_K + A_\pi)M_\pi^2 - (A_K + A_\pi)q^2)p_K^\mu - (A_K + 4A_\pi)M_K^2p_\pi^\mu] \\
& - 2[I_{\rho K} - 3I_{\rho K\pi}M_\pi^2 + I_{\rho K2\pi}M_\pi^4 - I_{\rho K3\pi}M_\pi^6] [((4A_K + 7A_\pi)M_\pi^2 + (A_K + A_\pi)M_K^2 \\
& - (A_K + A_\pi)q^2)p_\pi^\mu - (4A_K + A_\pi)M_\pi^2p_K^\mu] - [I_{\rho K} - I_{\rho K\pi}(M_K^2 + M_\pi^2) + I_{\rho 2K\pi}M_K^4] \\
& \times [(A_K(11M_K^2 + 5M_\pi^2 - 3M_\rho^2 - 5q^2) + A_\pi(2M_K^2 + 2M_\pi^2 - 3M_\rho^2 - 2q^2))p_K^\mu \\
& - (2A_KM_K^2 + A_\pi(11M_K^2 + 3M_\pi^2 - 3q^2))p_\pi^\mu] + [I_{\rho K} - I_{\rho K\pi}(M_K^2 + 2M_\pi^2) \\
& + I_{\rho K2\pi}(M_K^4 + M_K^2M_\pi^2 + M_\pi^4) - I_{\rho 2K2\pi}M_K^6] [(A_K(5M_K^2 + 7M_\pi^2 - 5q^2) \\
& + 2A_\pi(M_K^2 + 2M_\pi^2 - q^2))p_K^\mu - (A_\pi(7M_K^2 + 5M_\pi^2 - 5q^2) + 2A_K(2M_K^2 + M_\pi^2 - q^2))p_\pi^\mu] \\
& + [I_{\rho K} - I_{\rho K\pi}M_\pi^2] [(A_K(M_K^2 + M_\pi^2 - 3M_\rho^2 - q^2) - A_\pi M_\rho^2)p_K^\mu - (A_\pi(M_K^2 + M_\pi^2 - 3M_\rho^2 - q^2) \\
& - A_KM_\rho^2)p_\pi^\mu] - [I_{\rho K} - 2I_{\rho K\pi}M_\pi^2 + I_{\rho K2\pi}M_\pi^4] [(2A_\pi M_\pi^2 + A_K(3M_K^2 + 11M_\pi^2 - 3q^2))p_K^\mu \\
& - (A_K(2M_K^2 + 2M_\pi^2 - 3M_\rho^2 - 2q^2) + A_\pi(5M_K^2 + 11M_\pi^2 - 3M_\rho^2 - 5q^2))p_\pi^\mu] \}, \tag{17}
\end{aligned}$$

где

$$\begin{aligned}
I_{K^*n_1Kn_2\pi} &= -\frac{i}{(2\pi)^4} \int \frac{d^4k}{(M_{K^*}^2 - k^2)(M_K^2 - k^2)^{n_1}(M_\pi^2 - k^2)^{n_2}}, \\
I_{\rho n_1Kn_2\pi} &= -\frac{i}{(2\pi)^4} \int \frac{d^4k}{(M_\rho^2 - k^2)(M_K^2 - k^2)^{n_1}(M_\pi^2 - k^2)^{n_2}}. \tag{18}
\end{aligned}$$

Сходящихся слагаемых в полученных выражениях большинство. Если их отбросить, то ответ изменится всего приблизительно на 5%. Это дает основания полагать, что конечные части вносят небольшой вклад. Настоящая работа выполнена в данном предположении. Полное вычисление всех конечных

частей и уточнение полученных результатов может рассматриваться как отдельная задача для будущих работ.

Авторы выражают благодарность А. Б. Арбузову за интерес к данной работе и полезные обсуждения.

1. A. Lusiani (BaBar), PoS EPS-HEP2019, 216 (2020); doi 10.22323/1.364.0216.
2. P. A. Zyla, R. M. Barnett, J. Beringer et al. (Particle Data Group), PTEP **2020**(8), 083C01 (2020).
3. B. Aubert, M. Bona, D. Boutigny et al. (BaBar), Phys. Rev. D **76**, 051104 (2007).
4. Y. Nambu and G. Jona-Lasinio, Phys. Rev. **122**, 345 (1961).
5. T. Eguchi, Phys. Rev. D **14**, 2755 (1976).
6. D. Ebert and M. K. Volkov, Z. Phys. C **16**, 205 (1983).
7. M. K. Volkov, Sov. J. Part. Nucl. **17**, 186 (1986) [Fiz. Elem. Chast. Atom. Yadra **17**, 433 (1986)].
8. D. Ebert and H. Reinhardt, Nucl. Phys. B **271**, 188 (1986).
9. U. Vogl and W. Weise, Prog. Part. Nucl. Phys. **27**, 195 (1991).
10. D. Ebert, H. Reinhardt, and M. K. Volkov, Prog. Part. Nucl. Phys. **33**, 1 (1994).
11. M. K. Volkov and A. E. Radzhabov, Phys. Usp. **49**, 551 (2006).
12. M. K. Volkov, A. B. Arbuzov, and D. G. Kostunin, Phys. Rev. D **86**, 057301 (2012).
13. M. K. Volkov, A. A. Pivovarov, and K. Nurlan, Eur. Phys. J. A **55**(9), 165 (2019).
14. M. K. Volkov and A. A. Pivovarov, JETP Lett. **110**(4), 237 (2019).
15. M. K. Volkov, A. A. Pivovarov, and K. Nurlan, Nucl. Phys. A **1000**, 121810 (2020).
16. M. K. Volkov, A. B. Arbuzov, and A. A. Pivovarov, JETP Lett. **112**(8), 457 (2020).
17. D. Ebert and M. K. Volkov, Fortsch. Phys. **29**, 35 (1981).
18. M. Finkemeier and E. Mirkes, Z. Phys. C **72**, 619 (1996).
19. M. Jamin, A. Pich, and J. Portoles, Phys. Lett. B **640**, 176 (2006).
20. D. R. Boito, R. Escribano, and M. Jamin, Eur. Phys. J. C **59**, 821 (2009).